

BESIII

国家重点研发项目《粲强子衰变和标准模型的精确检验》

课题2：利用粲强子含轻子衰变精确检验标准模型

汇报人： 郑波

承担单位： 南华大学

合作单位： 高能所、湖南大学

国家重点研发项目“粲强子衰变和标准模型的精确检验”2025年夏季年会，
2025年8月12日-8月16日

报告大纲

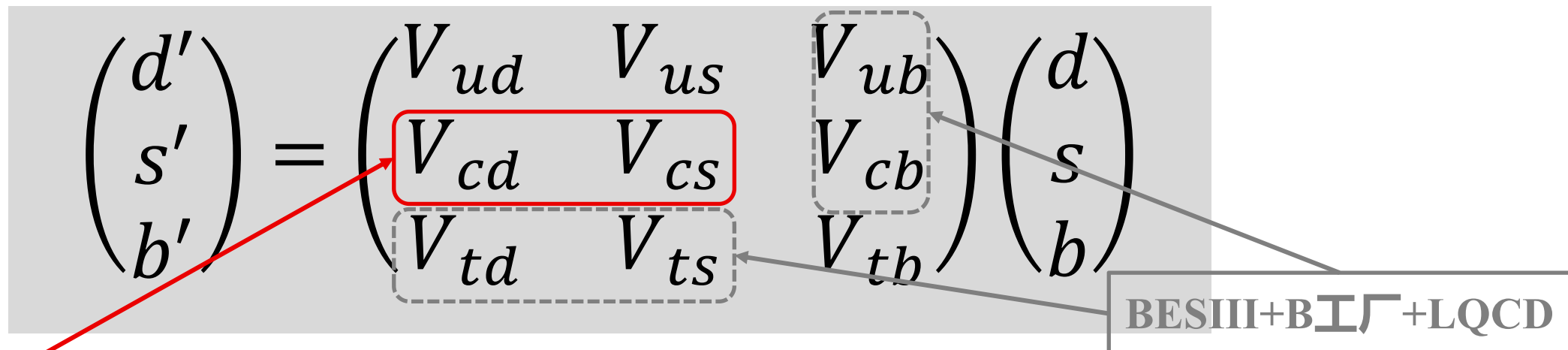
- 研究动机
- 研究内容、研究目标以及研究方案
- 已取得研究成果
- 正在开展的研究
- 总结

报告大纲

- 研究动机
- 研究内容、研究目标以及研究方案
- 已取得研究成果
- 正在开展的研究
- 总结

精确检验CKM矩阵幺正性

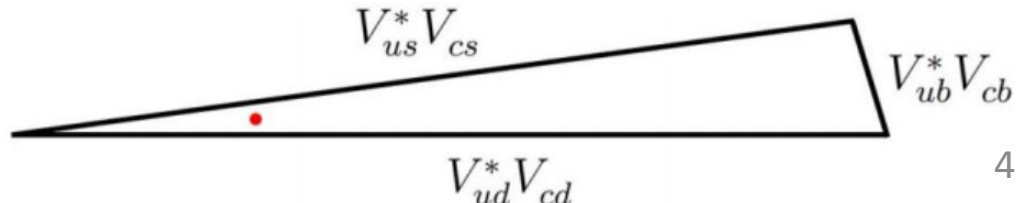
CKM矩阵



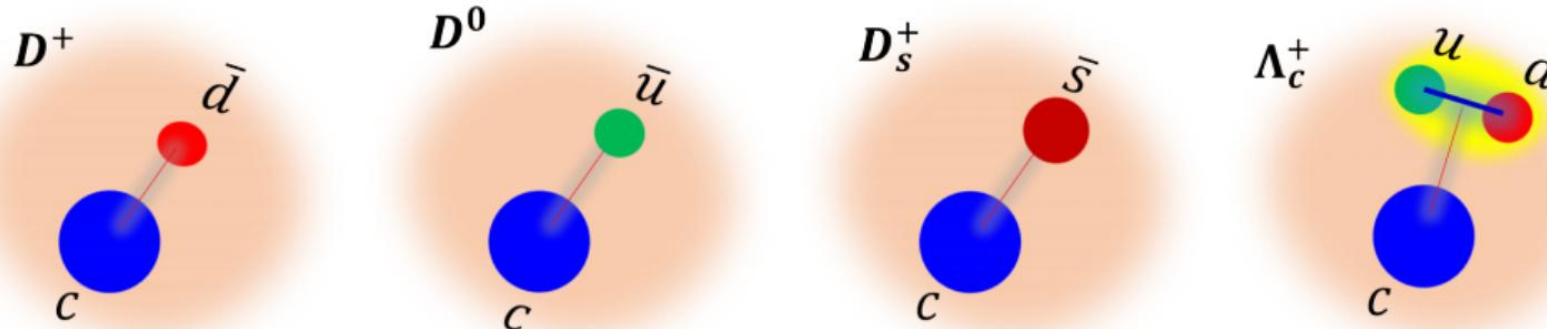
BESIII测量精度<2%?

$$|V_{ud}| = 0.97367(32), |V_{us}| = 0.22431(85), |V_{ub}| = 0.00382(20)$$
$$|V_{cd}| = 0.221(4), \quad |V_{cs}| = 0.975(6), \quad |V_{cb}| = 0.0411(12)$$
$$|V_{td}| = 0.0086(2), \quad |V_{ts}| = 0.0415(9), \quad |V_{tb}| = 1.010(27)$$

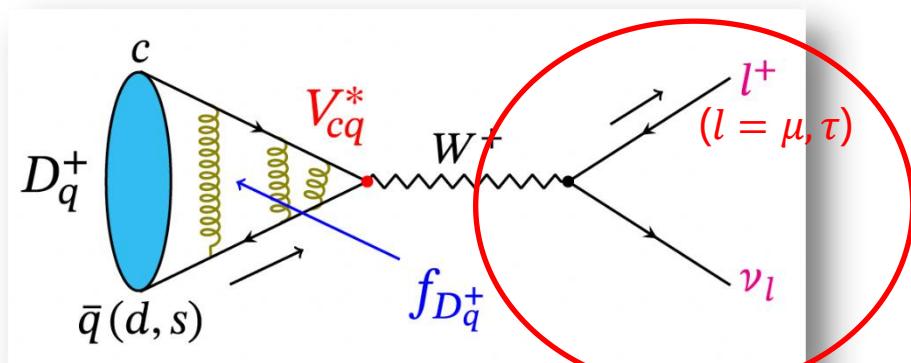
- 精确检验CKM矩阵幺正性是寻找超出标准模型的新物理的重要途径
- 利用 c 夸克的CKM三角形检验CKM矩阵幺正性: $V_{ud}^* V_{cd} + V_{us}^* V_{cs} + V_{ub}^* V_{cb} = 0$
- 进一步精密测量CKM矩阵元 $|V_{cd(s)}|$ 可以提供重要实验数据



精确检验轻子味普适性



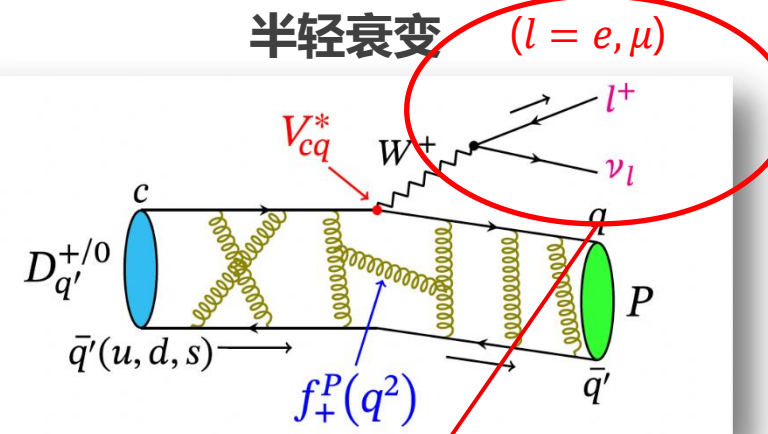
纯轻衰变



$$\Gamma(D^+ \rightarrow l^+ \nu_l) = \frac{G_F^2 f_{D^+}^2}{8\pi} |V_{cd(s)}|^2 m_l^2 m_{D^+} (1 - \frac{m_l^2}{m_{D^+}^2})^2$$

$$\mathcal{R}_{\tau/\mu} = \frac{\mathcal{B}(D^+ \rightarrow \tau^+ \nu_\tau)}{\mathcal{B}(D^+ \rightarrow \mu^+ \nu_\mu)}$$

半轻衰变

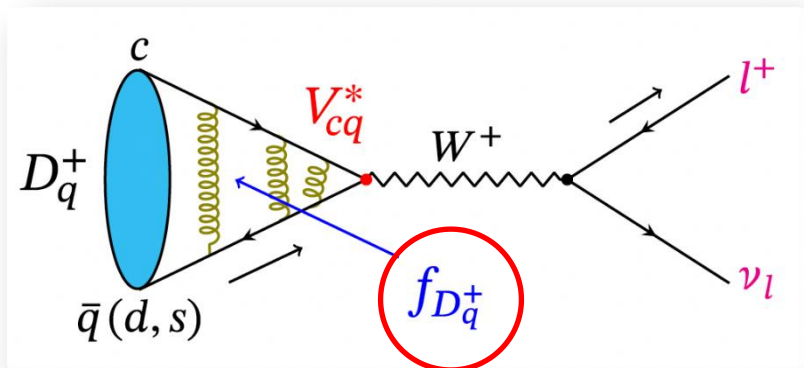


$$\frac{d\Gamma}{dq^2} = x \frac{G_F^2 p^3}{24\pi^3} |f_+(q^2)|^2 |V_{cd(s)}|^2$$

$$\mathcal{R}_{\mu/e} = \frac{\mathcal{B}(D \rightarrow X \mu^+ \nu_\mu)}{\mathcal{B}(D \rightarrow X e^+ \nu_e)}$$

精确检验QCD理论

纯轻衰变

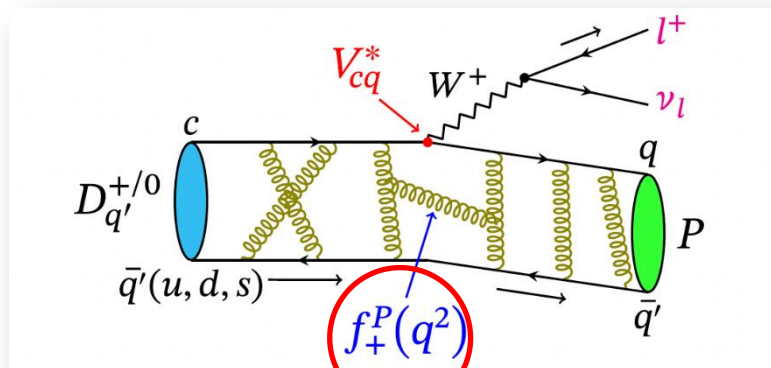


$$\Gamma(D^+ \rightarrow l^+ \nu_l) = \frac{G_F^2 f_{D^+}^2}{8\pi} |V_{cd(s)}|^2 m_l^2 m_{D^+} (1 - \frac{m_l^2}{m_{D^+}^2})^2$$

衰变常数

非微扰能区的格
点QCD理论计算

半轻衰变



$$\frac{d\Gamma}{dq^2} = x \frac{G_F^2 p^3}{24\pi^3} |f_+(q^2)|^2 |V_{cd(s)}|^2$$

形状因子

理解 $f_0(500)$ / $a_0(980)$ / $K_1(1270)$ 等轻介子的结构与性质

课题2

- $D \rightarrow \ell^+ \nu_\ell$
- $D \rightarrow P$ (赝标介子) $\ell^+ \nu_\ell$
- $D \rightarrow V$ (矢量介子) $\ell^+ \nu_\ell$
- $D \rightarrow S$ (标量介子) $\ell^+ \nu_\ell$
- $D \rightarrow A$ (轴矢介子) $\ell^+ \nu_\ell$
- $\Lambda_c^+ \rightarrow B$ (超子) $\ell^+ \nu_\ell$

报告大纲

- 研究动机
- 研究内容、研究目标以及研究方案
- 已取得研究成果
- 正在开展中研究
- 总结

研究内容

绝对分支比；衰变常数和形状因子； $|V_{cd(s)}|$ ；轻强子结构

- $D^+ \rightarrow \ell^+ \nu_\ell$ ($\ell = e, \mu, \tau$)
- $D \rightarrow P \ell^+ \nu_\ell$, P : 质标量介子, 如 $K, \pi, \eta^{(')}$
- $D \rightarrow V \ell^+ \nu_\ell$, V : 矢量介子, 如 \bar{K}^*, ρ, ω
- $D \rightarrow S \ell^+ \nu_\ell$, S : 标量介子, 如 $f_0(500), f_0(980), a_0(980)$
- $D \rightarrow A \ell^+ \nu_\ell$, A : 轴矢介子, 如 $K_1(1270), b_1(1235), a_1, f_1$,
- $\Lambda_c^+ \rightarrow B(h) \ell^+ \nu_\ell$, B : 重子, 如 p, n, Σ ; h : 强子, 如 K, π
- 降低系统误差 (径迹、PID、产生子……)
- 半轻衰变物理振幅的理论完善, 分波分析工具升级 … …

研究目标

精确检验电弱理论；深入理解强相互作用

➤ D^+ 介子的纯轻子衰变

完成 $|V_{cd}|$ 和 f_{D^+} 测量的最好精度优于 1.5%

➤ 粱介子的半轻子衰变

完成 $|V_{cs(d)}|$ 和形状因子测量的最好精度优于 1.0%

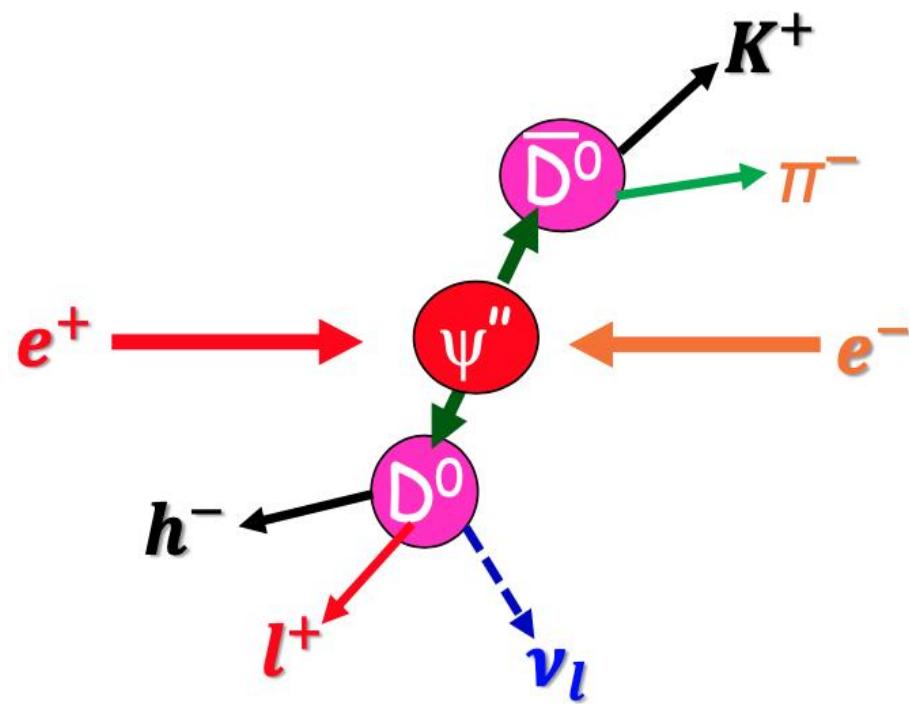
➤ Λ_c^+ 重子的半轻子衰变

完成 2-3 项 Λ_c^+ 的半轻子衰变的分支比或形状因子测量

➤ 粱介子半轻衰变理论

完成 2-3 项 粱介子半轻衰变理论工作

研究方案：双标记方法



反冲观测丢失中微子信号

$$U_{miss} = E_{miss} - |\vec{p}_{miss}|$$

$$M_{miss}^2 = E_{miss}^2 - |\vec{p}_{miss}|^2$$

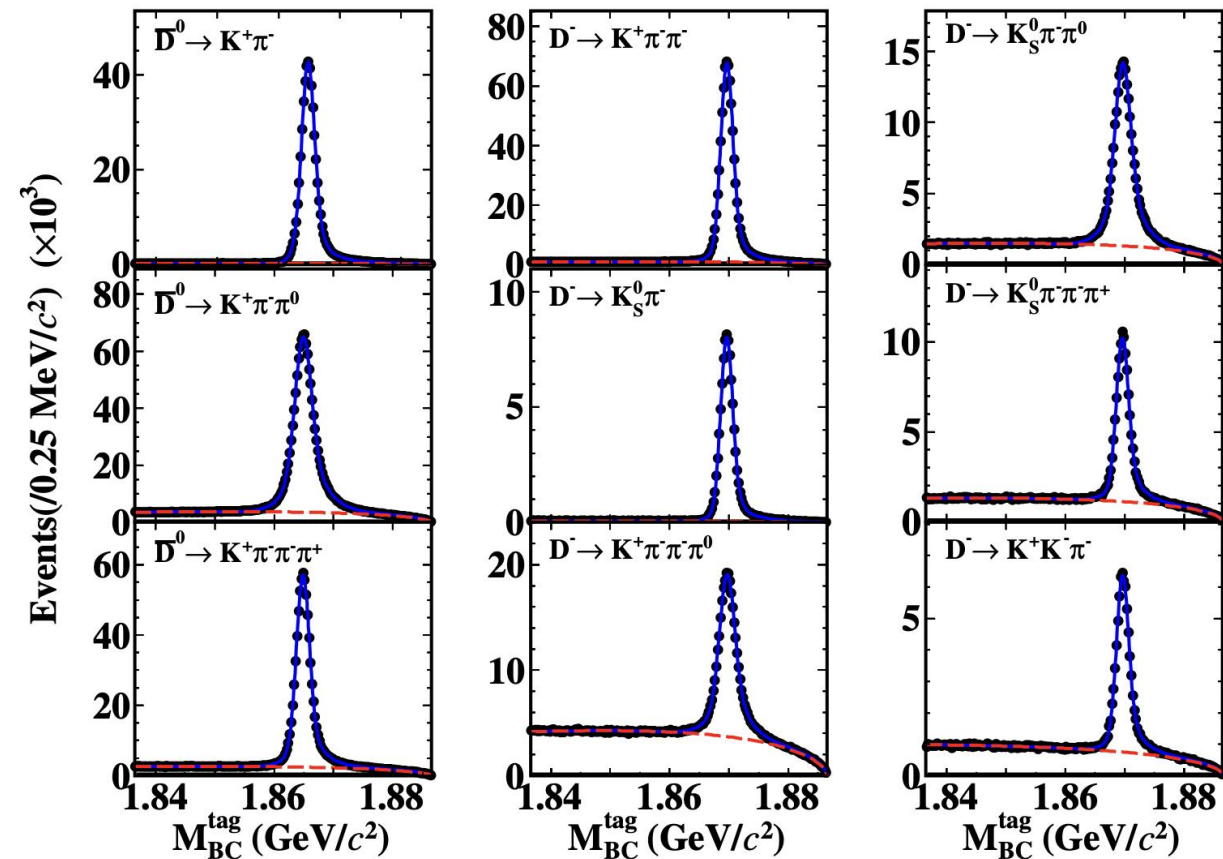
阈值附近采集的数据：

- 3.773GeV
- 2022年: $2.9 \text{ fb}^{-1} \rightarrow 7.9 \text{ fb}^{-1}$
- 2023年: $7.9 \text{ fb}^{-1} \rightarrow 16 \text{ fb}^{-1}$
- 2024年: $16 \text{ fb}^{-1} \rightarrow 20 \text{ fb}^{-1}$
- 4.600-4.699GeV: 4.5 fb^{-1}
- 采用成熟的**双标记方法**
 - 本底较低
 - 标记侧系统误差抵消
 - 可全重建，物理信息全

研究方案：双标记方法

单标记产额：

- 7.9 fb^{-1} 数据 @ 3.773 GeV
 - $N_{ST}^{\bar{D}^0} \sim 6.3\text{M}$ (3个黄金标记道)
 - $N_{ST}^{D^-} \sim 4.1\text{M}$ (6个黄金标记道)
- 20.3 fb^{-1} 数据 @ 3.773 GeV
 - $N_{ST}^{\bar{D}^0} \sim 16.9\text{M}$ (3个黄金标记道)
 - $N_{ST}^{D^-} \sim 11.0\text{M}$ (6个黄金标记道)
- 4.5 fb^{-1} 数据 @ 4.600-4.699 GeV
 - $N_{ST}^{D^-} \sim 0.12\text{M}$ (14个标记道)



研究方案：振幅分析

➤ 一维微分衰变宽度: $P: K, \pi, \eta^{(\prime)}$

$$\frac{d\Gamma(D \rightarrow P \ell^+ \nu_\ell)}{dq^2} = \frac{G_F^2 |V_{cd(s)}|^2}{24\pi^3} p_{(m_\mu)}^3 |f_+(q^2)|^2$$

➤ 二维微分衰变宽度: $S: a_0(980), f_0(500), f_0(980)$

$$\frac{d^2\Gamma(D \rightarrow S \ell^+ \nu_\ell)}{ds dq^2} = \frac{G_F^2 |V_{cd(s)}|^2}{192\pi^4 m_D^3} p_{(m_\mu)}^3 |f_+(q^2)|^2 P(s)$$

$$P(s) = \begin{cases} \frac{g_1 \rho_{\pi\pi/\pi\eta}}{|m_0^2 - s - i(g_1 \rho_{\pi\pi/\pi\eta} + g_2 \rho_{KK})|^2}, & \text{Flatte: } f_0(980)/a_0(980) \\ \frac{m_{f_0} \Gamma(s)}{(s - m_{f_0}^2)^2 + m_{f_0}^2 \Gamma^2(s)}, & \text{RBW: } f_0(500) \\ \frac{m_r \Gamma_{tot}(s)}{(m_r^2 - s - g_1^2 \frac{s - s_A}{m_r^2 - s_A} z(s))^2 + m_r^2 \Gamma_{tot}^2(s)}, & \text{Bugg: } f_0(500) \end{cases}$$

研究方案：振幅分析

$$\Gamma(D \rightarrow V(S)\ell^+\nu_\ell) \propto |V_{cd(s)}|^2 \mathfrak{T}(A_1(q^2), A_2(q^2), V(q^2), \dots) dm^2 dq^2 d\cos(\theta_h) d\cos(\theta_\ell) d\chi$$

V: ρ, ω, K^*, ϕ

S: $f_0(500), f_0(980)$

物理振幅参考: Phys. Rev. 137, B438 (1965)
Phys. Rev. D 46, 5040 (1992)

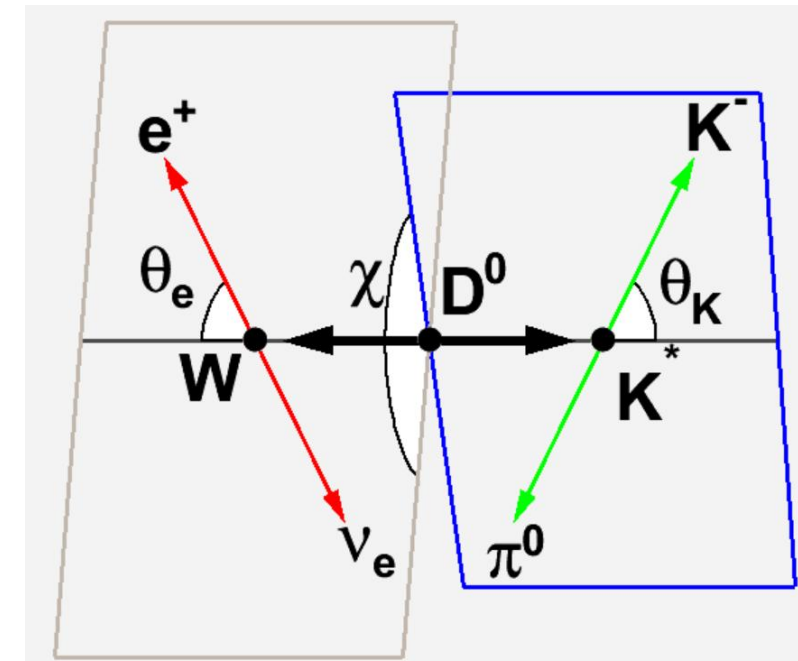
- 衰变强度 \mathfrak{T} 包含了 S, P, D 波组分
- 不分bin的最大似然法 (基于RooFit)
- 形状因子参数化 (单极点模型)

$$A_i(q^2) = \frac{A_i(0)}{1 - q^2/M_A^2}$$

$$V(q^2) = \frac{V(0)}{1 - q^2/M_V^2}$$

$$r_V = \frac{V(0)}{A_1(0)}$$

$$r_2 = \frac{A_2(0)}{A_1(0)}$$



报告大纲

- 研究动机
- 研究内容、研究目标以及研究方案
- 已取得研究成果
- 正在开展的研究
- 总结

Publication

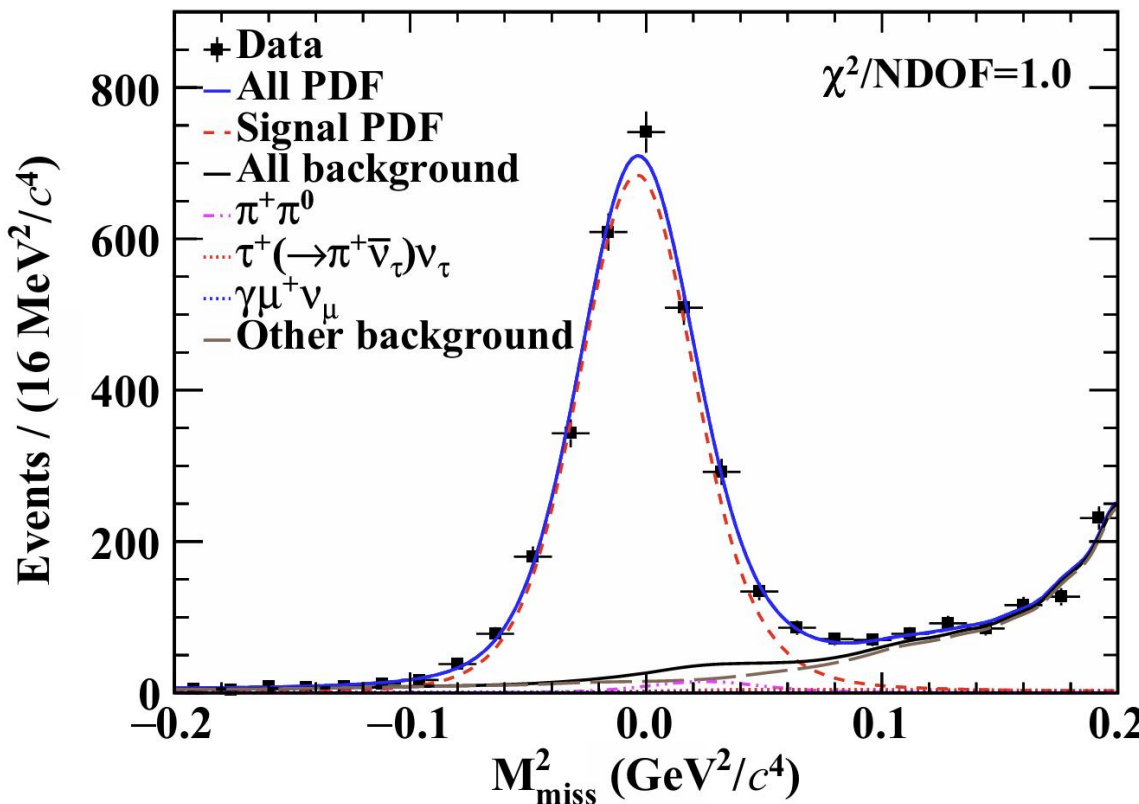
➤ Charmed D meson decay f_{D^+} 和 $|V_{cd}|$ 精度达到 1.2%  纯轻道项目目标达成!

Topic	Channel	$\mathcal{L}_{\text{int}}(\text{fb}^{-1})/\text{E}_{\text{cm}}(\text{GeV})$	Reference
$D^+ \rightarrow \ell^+ \nu_\ell$ 详见柯百谦的报告	$D^+ \rightarrow \mu^+ \nu_\mu$	20.3 / 3.773	PRL 135, 061801 (2025)
	$D^+ \rightarrow \tau^+ \nu_\tau$	7.9 / 3.773	JHEP01(2025)089
$D_s^+ \rightarrow \ell^+ \nu_\ell$	$D_s^+ \rightarrow \ell^+ \nu_\ell (\ell = \mu, \tau)$	10.64 / 4.237-4.699	PRD110(2024)052002
$D^{+(0)} \rightarrow P \ell^+ \nu_\ell$ 详见何凯凯的报告	$D \rightarrow \eta' \ell^+ \nu_\ell (\ell = e, \mu)$	20.3 / 3.773	PRL134(2025)111801
	$D \rightarrow \eta \ell^+ \nu_\ell (\ell = e, \mu)$	20.3 / 3.773	arXiv:2506.02521(Submitted to JHEP)
$D^{+(0)} \rightarrow V \ell^+ \nu_\ell$ 详见马衡的报告	$D^+ \rightarrow \bar{K}^0 \pi^0 e^+ \nu_e$	7.93 / 3.773	JHEP10(2024)199
	$D^0 \rightarrow \bar{K}^0 \pi^- e^+ \nu_e$		JHEP03(2025)197
	$D^0 \rightarrow \pi^0 \pi^- e^+ \nu_e$		PRD 110(2024)112018
	$D^+ \rightarrow \bar{K}^0 \pi^0 \ell^+ \nu_\ell (\ell = e, \mu)$	20.3 / 3.773	arXiv:2506.05761(Submitted to PRL)
	$D^0 \rightarrow K_S^0 \pi^- \mu^+ \nu_\mu$	20.3 / 3.773	arXiv:2504.10867(Submitted to PRL)
$D^{+(0)} \rightarrow S \ell^+ \nu_\ell$	$D^+ \rightarrow f_0(500) \ell^+ \nu_\ell (\ell = e, \mu)$	2.93 / 3.773	PRD 110(2024)092008
	$D^0 \rightarrow a_0(980) e^+ \nu_e$	7.93 / 3.773	PRD111(2025)L091501
$D^{+(0)} \rightarrow A \ell^+ \nu_\ell$ 详见吴潇的报告 课题2	$D \rightarrow b_1(1235) e^+ \nu_e$	7.93 / 3.773	arXiv:2407.20551(Submitted to PRL)
	$D \rightarrow K_1(1270) \mu^+ \nu_\mu$	7.93 / 3.773	PRD111(2025)L071101
	$D \rightarrow K_1(1270) e^+ \nu_e$	20.3 / 3.773	arXiv:2503.02196(Accepted by PRL) ¹⁵

Precision measurement of the branching fraction $D^+ \rightarrow \mu^+ \nu_\mu$

➤ 20.3 fb⁻¹ @3.773 GeV

PRL 135, 061801 (2025)



- $N_{sig} = 2833 \pm 57$
- $\mathcal{B}(D^+ \rightarrow \mu^+ \nu_\mu) = (4.034 \pm 0.080 \pm 0.040) \times 10^{-4}$

$$f_{D^+} \rightarrow (213.5 \pm 2.1 \pm 1.1 \pm 0.8 \pm 0.7) \text{ MeV} (\sim 1.2\%)$$

课题2

$$\Gamma_{D^+ \rightarrow \ell^+ \nu_\ell} = \Gamma_{D^+ \rightarrow \ell^+ \nu_\ell}^0 [1 + \frac{\alpha}{\pi} C_p]$$

Radiative correction term

1. Short-distance electroweak correction increases BF by 1.8%[PRD98, 074512,NPB196,83]
2. Long-distance electroweak correction [inner bremsstrahlung and virtual photon] reduce BF by 2.5% with 0.6% uncertainty of unknown electromagnetic correction [PRD98,074512]

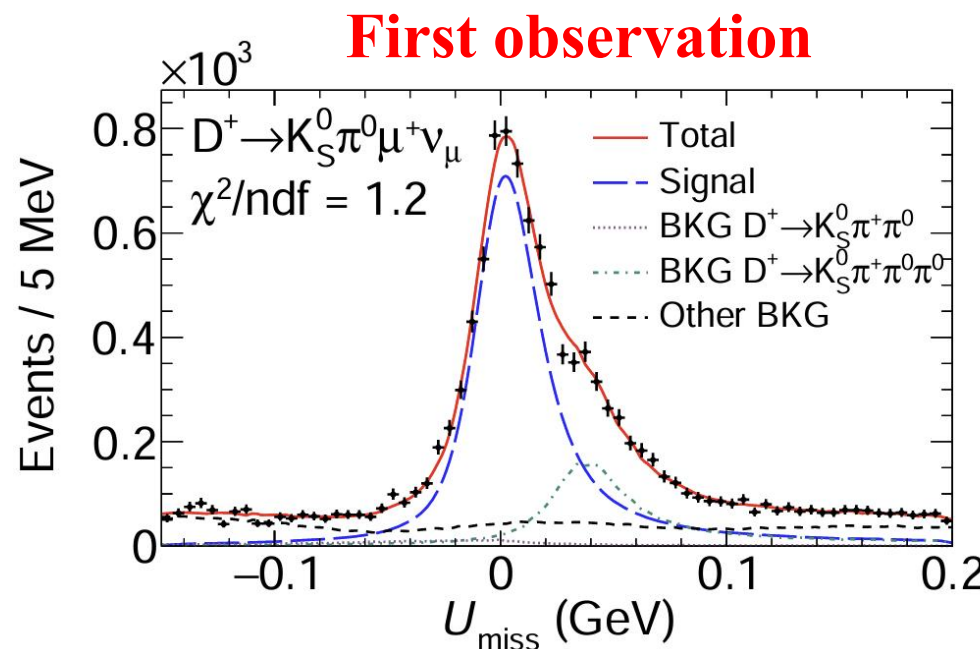
The precision is **improved by a factor of 2.3** compared to the previous best measurement

$$|V_{cd}| = (0.2265 \pm 0.0023 \pm 0.0011 \pm 0.0009 \pm 0.0007)$$

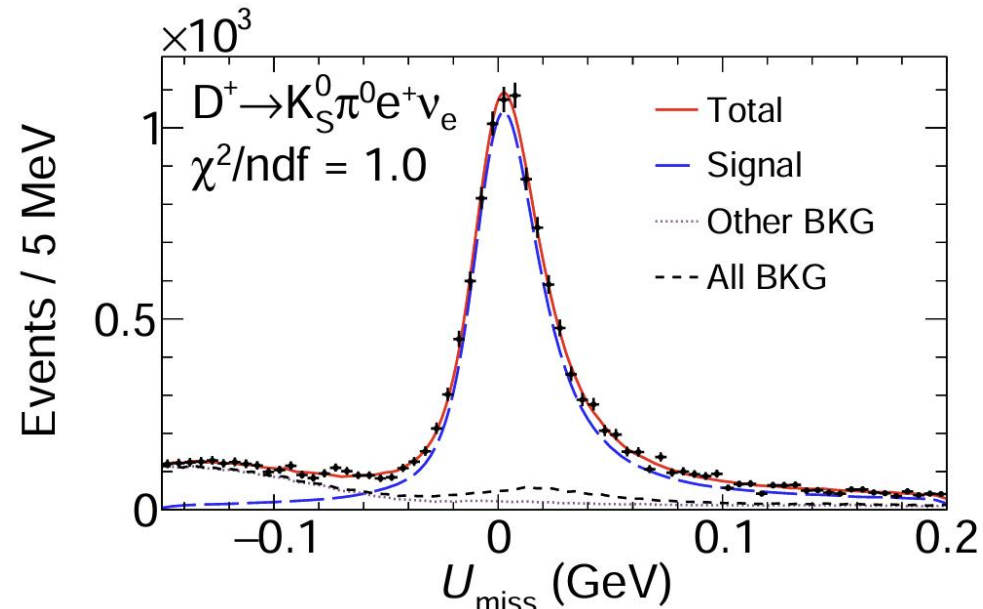
$D^+ \rightarrow \bar{K}^*(892)^0 \ell^+ \nu_\ell$

➤ Data: 20.3 fb^{-1} @3.773 GeV, Double-tag method

arXiv:2506.05761(Submitted to PRL)



- Signal shape: MC simulation \otimes Gaussian
- BKG $D^+ \rightarrow K_S^0 \pi^+ \pi^0$ (fixed)
- Other BKG(Floated)



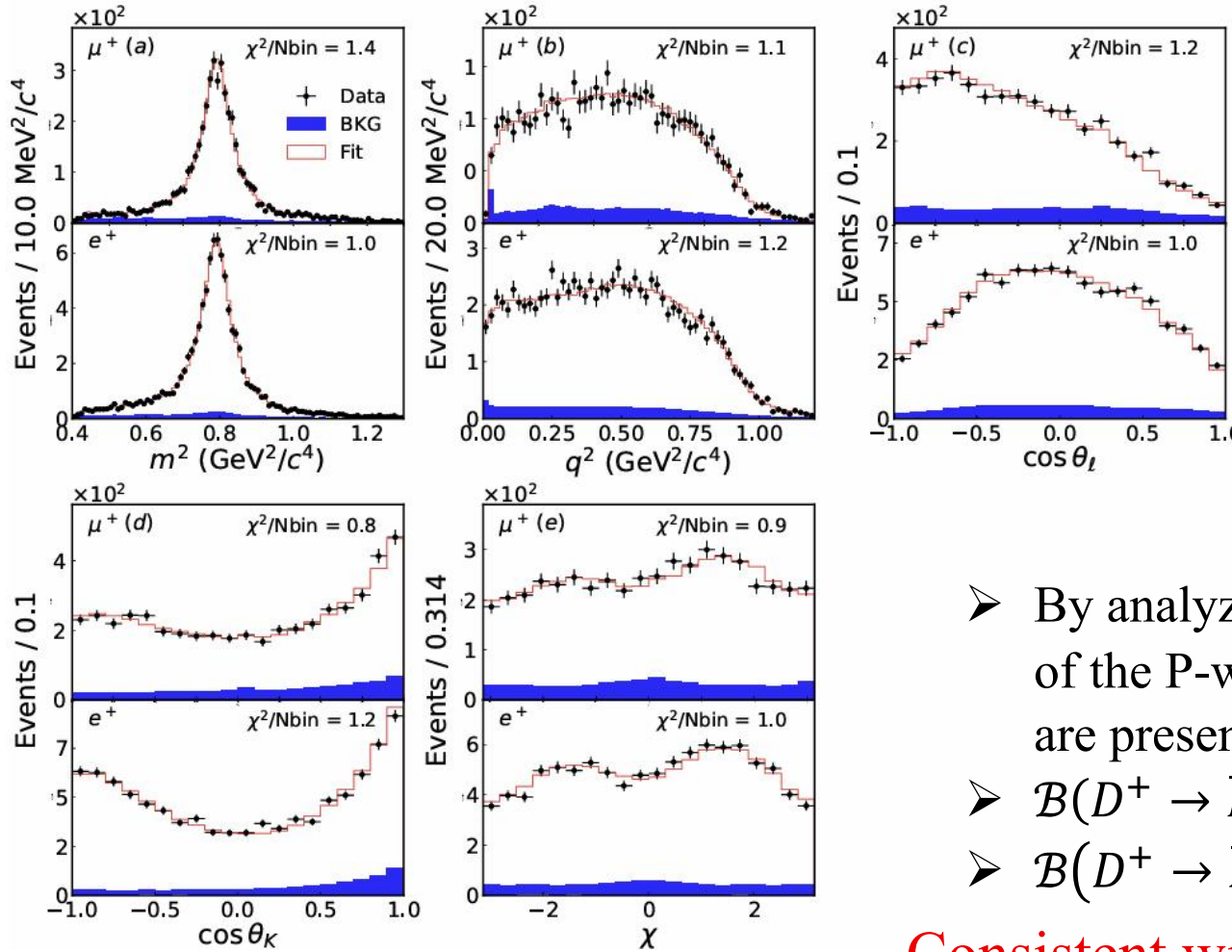
- Signal shape: MC simulation \otimes Gaussian
- Other BKG(fixed): $D^+ \rightarrow K_S^0 \pi^+ \pi^0$, $D^+ \rightarrow K_S^0 \pi^0 \mu^+ \nu_\mu$ and $D^0 \rightarrow K_S^0 \pi^- e^+ \nu_e$
- All BKG (Floated)

Channel	N_{DT}	$\bar{\epsilon}_{\text{sig}} \text{ (%)}$	$\mathcal{B}_{\text{sig}} \text{ (%)}$
μ^+	6767 ± 126	10.44 ± 0.04	$0.896 \pm 0.017 \pm 0.008$
e^+	11095 ± 137	17.09 ± 0.05	$0.943 \pm 0.012 \pm 0.010$

$$D^+ \rightarrow \bar{K}^*(892)^0 \ell^+ \nu_\ell$$

➤ Hadronic form factors

The projections of the nominal fit result.



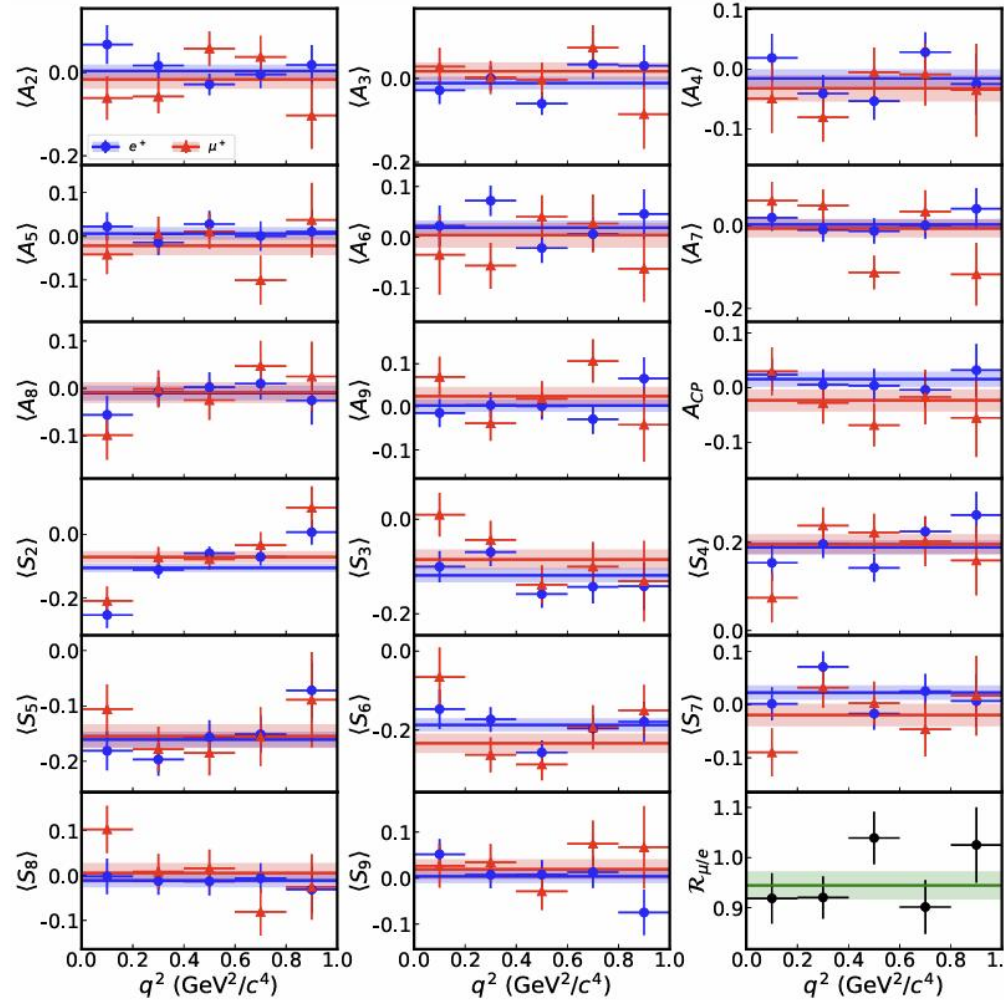
Variable	$D^+ \rightarrow K_S^0 \pi^0 e^+ \nu_e$	$D^+ \rightarrow K_S^0 \pi^0 \mu^+ \nu_\mu$
$m_{\bar{K}^*0}$ (MeV/ c^2)	894.76 ± 0.29	
$\Gamma_{\bar{K}^*0}$ (MeV/ c^2)		$45.24 \pm 0.62 \pm 0.45$
r_V		$1.42 \pm 0.03 \pm 0.02$
r_2		$0.75 \pm 0.03 \pm 0.01$
$a_{S,\text{BG}}^{1/2}$ (GeV/ c) $^{-1}$	$2.32 \pm 0.11 \pm 0.25$	$1.47 \pm 0.25 \pm 0.22$
r_S (GeV) $^{-1}$	$-8.44 \pm 0.13 \pm 0.37$	$-9.59 \pm 0.46 \pm 0.58$
$f_{S\text{-wave}}$	$6.39 \pm 0.17 \pm 0.14$	$7.10 \pm 0.68 \pm 0.41$
$f_{\bar{K}^*0}$	$93.50 \pm 0.18 \pm 0.28$	$92.81 \pm 0.67 \pm 0.47$

- By analyzing the $D^+ \rightarrow K_S^0 \pi^0 \ell^+ \nu_\ell$ decay dynamics, the fraction of the P-wave component and hadronic FF ratios of $D^+ \rightarrow \bar{K}^*0$ are presented.
- $\mathcal{B}(D^+ \rightarrow \bar{K}^*0 e^+ \nu_e) = (5.29 \pm 0.07_{\text{stat}} \pm 0.06_{\text{sys}})\%$
- $\mathcal{B}(D^+ \rightarrow \bar{K}^*0 \mu^+ \nu_\mu) = (4.99 \pm 0.10_{\text{stat}} \pm 0.05_{\text{sys}})\%$

Consistent with PDG values with comparable precision.

$$D^+ \rightarrow \bar{K}^*(892)^0 \ell^+ \nu_\ell$$

➤ Angular and CP asymmetries

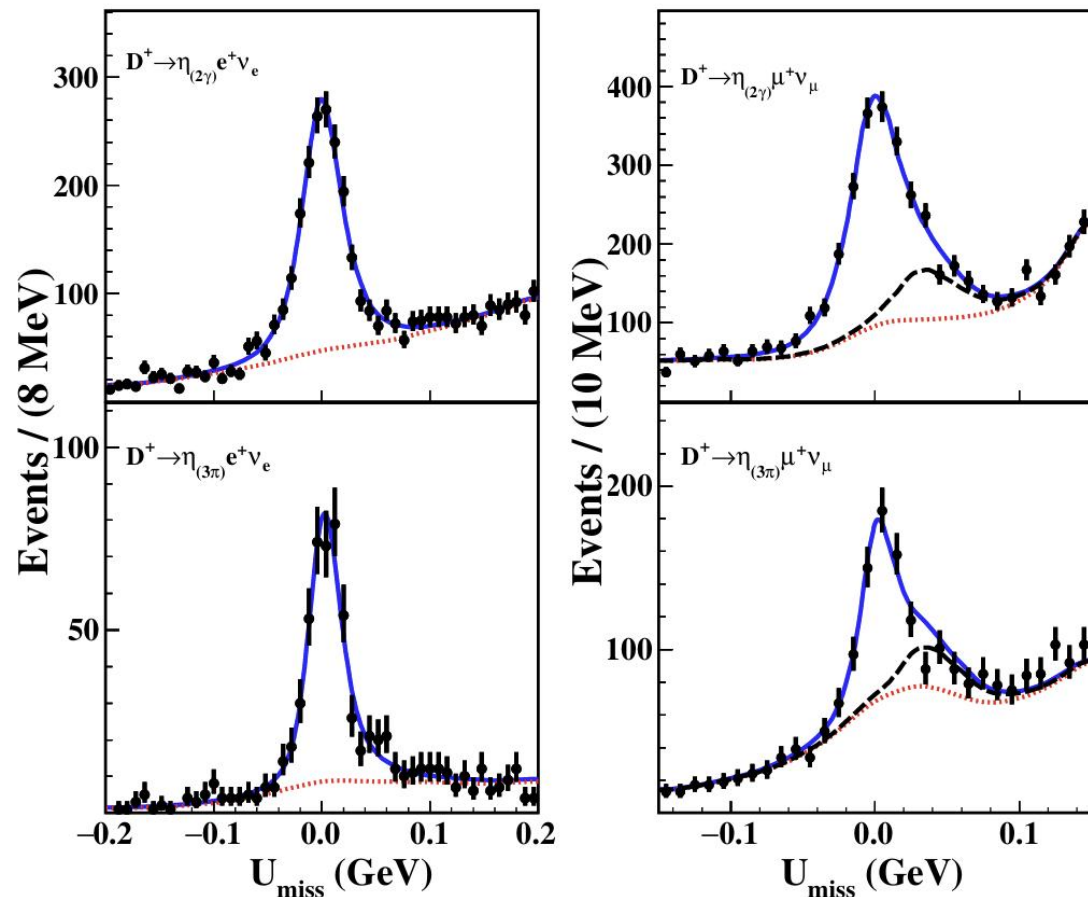


- LFV can be tested via integrated and q^2 -binned $R_{\mu/e}$;
- LFV can be tested via A_{CP} and full set of angular observables $\langle A_i \rangle$ and $\langle S_i \rangle$;
- In SM model, all $\langle A_i \rangle$ and A_{CP} and $\langle S_{6,7,8} \rangle$ are zero;
- The **first measurement of full set of CP asymmetries and averaged angular observables** with A_{CP} in the decay $D^+ \rightarrow \bar{K}^{*0} \ell^+ \nu_\ell$ via $\bar{K}^{*0} \rightarrow K_S^0 \pi^0$ is reported;
- All measured null-test observables A_{CP} , $\langle S_{7-9} \rangle$ and $\langle A_{2-9} \rangle$ are **in agreement with the SM predictions**, with largest deviation being 1.7σ .

Improved measurements of $D^+ \rightarrow \eta\ell^+\nu_\ell$ ($\ell=e, \mu$)

➤ Data: 20.3 fb^{-1} @ 3.773 GeV

arXiv: 2506.02521(Submitted to JHEP)



Decay	N_{sig}	$\bar{\epsilon}_{\text{sig}} (\%)$	$\mathcal{B}_{\text{sig}} (10^{-4})$
$D^+ \rightarrow \eta_{(2\gamma)} e^+ \nu_e$	1567 ± 119	39.51 ± 0.07	$9.75 \pm 0.29 \pm 0.28$
$D^+ \rightarrow \eta_{(3\pi)} e^+ \nu_e$	426 ± 57	18.76 ± 0.06	
$D^+ \rightarrow \eta_{(2\gamma)} \mu^+ \nu_\mu$	1375 ± 136	36.52 ± 0.07	
$D^+ \rightarrow \eta_{(3\pi)} \mu^+ \nu_\mu$	400 ± 69	18.60 ± 0.06	$9.08 \pm 0.35 \pm 0.29$

Both of which improve over the previous best measurements by **more than two fold in precision.**

➤ Combining the BFs of semielectronic and semimuonic decays, can obtain the ratio

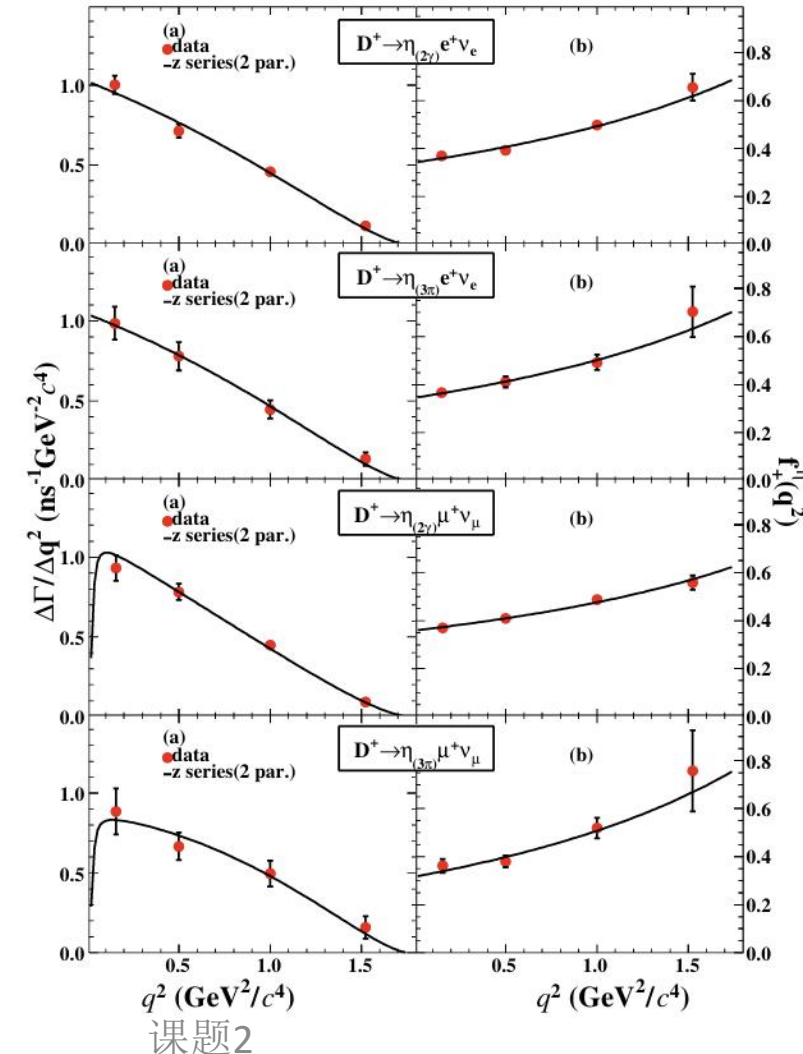
$$\frac{\mathcal{B}(D^+ \rightarrow \eta \mu^+ \nu_\mu)}{\mathcal{B}(D^+ \rightarrow \eta e^+ \nu_e)} = 0.93 \pm 0.05 \pm 0.02$$

Well consistent with theoretical calculation, thereby implying **no violation of lepton universality** under the current statistics

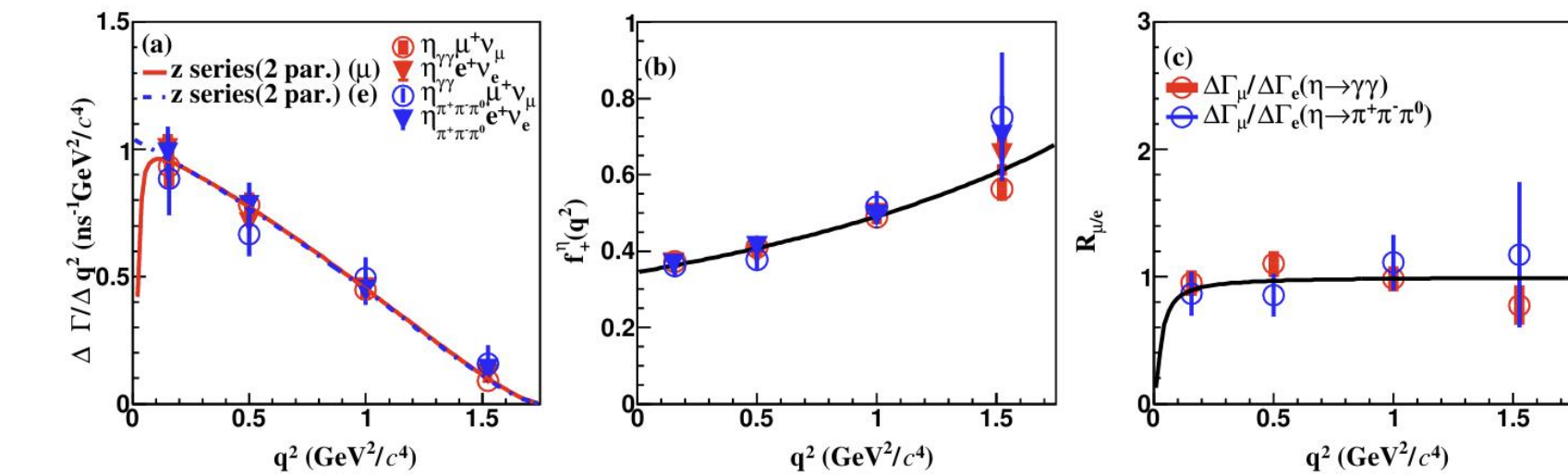
Improved measurements of $D^+ \rightarrow \eta \ell^+ \nu_\ell$ ($\ell = e, \mu$)

➤ Hadronic transition form factors

Separate fits to the partial decay rates



Simultaneous fit



Case	Decay	χ^2/NDF	r_1	$f_+^\eta(0) V_{cd} $	ρ	$f_+^\eta(0)$
Separate fit	$\eta_{(2\gamma)} e^+ \nu_e$	2.6/2	$-3.1 \pm 0.9 \pm 0.1$	$0.077 \pm 0.002 \pm 0.001$	0.780	$0.341 \pm 0.011 \pm 0.005$
	$\eta_{(3\pi)} e^+ \nu_e$	0.5/2	$-3.3 \pm 1.7 \pm 0.3$	$0.078 \pm 0.004 \pm 0.001$	0.816	$0.345 \pm 0.020 \pm 0.006$
	$\eta_{(2\gamma)} \mu^+ \nu_\mu$	0.5/2	$-1.5 \pm 0.9 \pm 0.3$	$0.081 \pm 0.003 \pm 0.001$	0.816	$0.359 \pm 0.013 \pm 0.006$
	$\eta_{(3\pi)} \mu^+ \nu_\mu$	1.3/2	$-5.0 \pm 2.5 \pm 0.4$	$0.071 \pm 0.007 \pm 0.001$	0.897	$0.316 \pm 0.030 \pm 0.006$
Simultaneous fit	$\eta \ell \nu_\ell$	6.2/14	$-2.9 \pm 0.7 \pm 0.1$	$0.078 \pm 0.002 \pm 0.001$	0.813	$0.345 \pm 0.008 \pm 0.003$

$f_+^\eta(0)$ is consistent with the previous measurements, and the precision is improved by a factor of 3.4 over the previous best one.

理论研究进展

T. Shen, Y. Chen, M. Gong, et al. **Form factors in semileptonic decay of D mesons.** (PoS LATTICE2024 (2025), 294)

基于格点QCD方法，计算 $D \rightarrow K$ 半轻子衰变中的矢量(f_+)、标量(f_0)和张量(f_T)形状因子，使用RBC-UKQCD合作组提供的2+1味配置和改进的z-展开进行拟合，在物理价夸克质量点得到初步结果 $f_+(0) = f_0(0) = 0.760(39)$ 、 $f_T(0) = 0.733(50)$ ，其中 f_T 的结果在 $\overline{\text{MS}}$ 方案下于2GeV尺度给出。

S. Cheng, and S. L. Zhang. **$D_s \rightarrow f_0(980)$ form factors and the $D_s^+ \rightarrow (f_0(980) \rightarrow) [\pi\pi]_S^{I=0} e^+ \nu_e$ decay from light-cone sum rules.** (Phys.Rev.D 111 (2025) 11, 113005)

基于光锥求和规则方法，重新分析 $D_s \rightarrow f_0(980)$ 的形状因子，重点考虑了 $f_0(980)$ 的 $q\bar{q}$ 构型。研究动因是 BESIII 最近测得的 $D_s^+ \rightarrow [\pi\pi]_S^{I=0} e^+ \nu_e$ 衰变宽度。发现在窄宽度近似下的微分衰变宽度低于实验数据，而使用 Flatté 共振模型所获得的结果与实验更一致，表明 f_0 可能在 $s\bar{s}$ 态与 $u\bar{u} + d\bar{d}$ 态之间有 20° 的混合。为获得模型无关的预测，建议利用同位旋标量双π系统的光锥分布振幅来计算 $D_s \rightarrow [\pi\pi]_S^{I=0}$ 的形状因子。

W. Lin, X. E. Huang, S. Cheng, and D. L. Yao. **Semileptonic decays of $D \rightarrow \rho \ell \nu_\ell$ and $D_{(s)} \rightarrow K^* \ell^+ \nu$ from light-cones sum rules.** (Phys.Rev.D 111 (2025) 11, 113005)

基于光锥求和规则方法，研究了 D 介子衰变为 ρ 介子和 K 介子的形式因子。研究了粲介子到轻矢量介子的半轻子衰变过程。文中给出了多个衰变过程（如 $D^+ \rightarrow \rho^0 \ell^+ \nu_\ell$, $D_s^{*0} \rightarrow K^{*0} \ell^+ \nu_\ell$ 等）的分支比，并发现与实验结果存在 $10\%-20\%$ 的差异，指出共振宽度和非共振 QCD 背景效应可能具有重要影响，未来应进一步纳入以提高精度。

TABLE VI. Branching ratios of the semileptonic charm decays $D_{(s)} \rightarrow V l^+ \nu_l$ (in unit of 10^{-3}).

	$D^+ \rightarrow \rho^0 \ell^+ \nu_\ell$	$D_s^+ \rightarrow K^{*0} \ell^+ \nu_\ell$	$D^0 \rightarrow K^{*-} \ell^+ \nu_\ell$	$D^+ \rightarrow \bar{K}^{*0} \ell^+ \nu_\ell$
This work	$2.30^{+0.32}_{-0.25}$	$1.55^{+0.30}_{-0.20}$	$17.6^{+2.4}_{-1.9}$	$45.2^{+6.2}_{-5.0}$
LCSR2006 [21]	$2.20^{+0.30}_{-0.23}$	$1.48^{+0.29}_{-0.19}$	$16.6^{+2.2}_{-1.8}$	$42.7^{+5.7}_{-4.5}$
CLFQM [51]	$2.29^{+0.23}_{-0.16}$	$2.33^{+0.29}_{-0.30}$	21.2 ± 0.9	$53.7^{+2.4}_{-2.3}$
HChPT [32]	$2.20^{+0.21}_{-0.16}$	$2.24^{+0.27}_{-0.29}$	20.1 ± 0.9	$51.0^{+2.3}_{-2.1}$
PDG [2]	2.32 2.22	1.90 1.82	...	73.2 69.3
	2.50	2.20	22.0	56.0
	1.90 ± 0.10	2.15 ± 0.28	21.5 ± 1.60	54.0 ± 1.00
	2.40 ± 0.40	...	18.9 ± 2.40	52.7 ± 1.50

报告大纲

- 研究动机
- 研究内容、研究目标以及研究方案
- 已取得研究成果
- 正在开展的研究
- 总结

正在开展的研究(I)

Topic	Channel	$\mathcal{L}_{\text{int}}(\text{fb}^{-1})$ $/E_{\text{cm}}(\text{GeV})$	status
$D^{+(0)} \rightarrow P \ell^+ \nu_\ell$	$D^{+(0)} \rightarrow \bar{K} \ell^+ \nu_\ell$	20.3/3.773	BAM-00931, Draft review
	$D^{+(0)} \rightarrow \pi \ell^+ \nu_\ell$		BAM-00804, Memo review
$D^{+(0)} \rightarrow V \ell^+ \nu_\ell$	$D^0 \rightarrow K^- \pi^0 e^+ \nu_e$	20.3/3.773	BAM-00829, CWR release
	$D^+ \rightarrow K^- \pi^+ e^+ \nu_e$		BAM-00962, Memo review
	$D^0 \rightarrow K_S \pi^- \ell^+ \nu_\ell$		BAM-00973, CWR release
	$D^+ \rightarrow K^- \pi^+ \mu^+ \nu_\mu$		BESIII Collaboration Meeting in Winter of 2024
	$D^0 \rightarrow a_0(980)^-(\eta \pi^-) e^+ \nu_e$		Physics and Software Workshop in Autumn of 2024
$D^{+(0)} \rightarrow S \ell^+ \nu_\ell$	$D^+ \rightarrow a_0(980)^0 (\eta \pi^0) e^+ \nu_e$		Charm Group report
	$D^{+(0)} \rightarrow a_0(980)(\eta \pi) \mu^+ \nu_\mu$		Charm Group report
	$D \rightarrow a_0(980)(K\bar{K}) e^+ \nu_e$		Charm Group report
			24

正在开展的研究(II)

Topic	Channel	$\mathcal{L}_{\text{int}}(\text{fb}^{-1}) / E_{\text{cm}}(\text{GeV})$	status
$D^{+(0)} \rightarrow S \ell^+ \nu_\ell$	$D^+ \rightarrow f_0(500)(\pi^+ \pi^-) e^+ \nu_e$	20.3/3.773	Charm group review
	$D^+ \rightarrow f_0(500)(\pi^+ \pi^-) \mu^+ \nu_\mu$		Charm Group report
	$D^+ \rightarrow f_0(980)(\pi^+ \pi^-) e^+ \nu_e$		Charm group review
	$D^+ \rightarrow f_0(980)(\pi^+ \pi^-) \mu^+ \nu_\mu$		Charm Group report
$D^{+(0)} \rightarrow A \ell^+ \nu_\ell$	$D \rightarrow K_1(1270) \mu^+ \nu_\mu$		BESIII Physics and Software Workshop in Spring of 2025
	$D \rightarrow K_1(1270) (\rightarrow K \omega) \mu^+ \nu_\mu$		BAM-00942, CWR release
	$D \rightarrow b_1(1235) \ell^+ \nu_\ell$		BESIII Collaboration Meeting in Winter of 2024
	$D \rightarrow f_1(1420) \ell^+ \nu_\ell$		Charm group review

正在开展的研究(III)

topic	$\mathcal{L}_{\text{int}}(\text{fb}^{-1})/\text{E}_{\text{cm}}(\text{GeV})$	status
$\Lambda_c^+ \rightarrow \Sigma^\pm \pi^\mp e^+ \nu_e$		BAM-00589, BESIII PubComm review
$\Lambda_c^+ \rightarrow p \pi^- e^+ \nu_e$	4.5 /4.6 -4.7	BAM-00736, Memo Review
$\Lambda_c^+ \rightarrow n K_S^0 e^+ \nu_e$		Charm Group report
$\Lambda_c^+ \rightarrow \Lambda(1405/1520)[\rightarrow p K^-] e^+ \nu_e$		BESIII Collaboration Meeting July 9, 2025

- 研究动机
- 研究内容、研究目标以及研究方案
- 已取得研究成果
- 正在开展的研究
- 总结

总结

- D^+ 介子的纯轻子衰变：完成 $|V_{cd}|$ 和 f_{D^+} 测量的最好精度优于 1.5% （已完成）
- 粱介子的半轻子衰变：完成 $|V_{cs(d)}|$ 和形状因子测量的最好精度优于 1.0%，发表论文 10 篇及以上
(正在开展，已发表 8 篇论文，正在投稿 4 篇论文)
- Λ_c^+ 重子的半轻子衰变：2-3 项 Λ_c^+ 的半轻子衰变的分支比或形状因子测量（正在开展 4 项测量）

topic	$\mathcal{L}_{\text{int}}(\text{fb}^{-1})/\text{E}_{\text{cm}}(\text{GeV})$	status
$\Lambda_c^+ \rightarrow \Sigma^\pm \pi^\mp e^+ \nu_e$	4.5 / 4.6 - 4.7	BAM-00589, BESIII PubComm review
$\Lambda_c^+ \rightarrow p \pi^- e^+ \nu_e$		BAM-00736, Memo Review
$\Lambda_c^+ \rightarrow n K_S^0 e^+ \nu_e$		Charm Group report
$\Lambda_c^+ \rightarrow \Lambda(1405/1520) [\rightarrow p K^-] e^+ \nu_e$		BESIII Collaboration Meeting July 9, 2025

- 粱介子半轻衰变理论：完成 2-3 项 粱介子半轻衰变理论工作（已达成目标，持续开展相关工作）

谢谢大家！